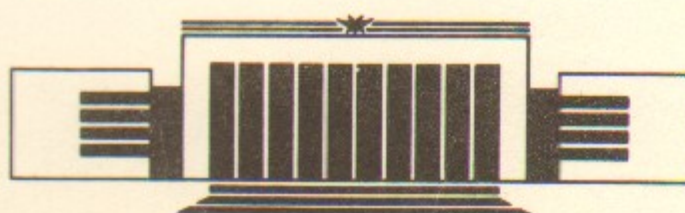




П.З. Чеботаев

ЗАХВАТ ВЫСОКОЭНЕРГЕТИЧНЫХ АТОМОВ
ПРИ НЕРАДИАЛЬНОЙ ИНЖЕКЦИИ ИХ
В ГАЗОДИНАМИЧЕСКУЮ ЛОВУШКУ

ПРЕПРИНТ 86-93



НОВОСИБИРСК
1986

БЕЛГОРОДСКАЯ ОБЛАСТЬ

БОМОТА ХЫНРНТЭЭРГИЙН ТАЯХАС
ХН ИНДЭЖИН НОРНЛАНДАЧН НЧН
ХУМКУУЛГА ОГУЗИНДИНОСАТ Б

80-08 ТННЧП-91

© Институт ядерной физики СО АН СССР

БЫСТРЫЕ АТОМЫ В ПЛАЗМЕ ЗАХВАТ В ГДЛ

В работе [1] рассматривались аспекты нагрева плазмы в газодинамической ловушке (ГДЛ) при радиальной инжекции высокoenергетических атомов водорода. При этом предполагалось, что инжекция нейтралов велась в однородную плазму с резкой границей. В настоящей работе рассматривается нерадиальная инжекция пучка в плазму с неоднородным распределением плотности по радиусу. Плазма предполагается квазинейтральной и симметричной относительно продольной оси. Пучок нейтралов может быть наклонен к продольной оси установки и может иметь смещение в поперечном направлении. Угол наклона и смещение задаются задаваемыми параметрами, причем угол наклона для всех инжекторов один и тот же, а поперечные смещения инжекторов могут быть различными. Полный список параметров, которые могут быть выбраны для расчета конкретного варианта, приведен в приложении. Поскольку время инжекции мало по сравнению с временем жизни плазмы, то в расчетах предполагается, что инжекция и захват атомов происходят мгновенно. Определяются радиальные распределения быстрых ионов и их лармировских центров, а затем происходит торможение высокoenергетических ионов и нагрев плазмы.

ВВЕДЕНИЕ

В работе [1] рассматривались аспекты нагрева плазмы в газодинамической ловушке (ГДЛ) при радиальной инжекции высокoenергетических атомов водорода. При этом предполагалось, что инжекция нейтралов велась в однородную плазму с резкой границей. В настоящей работе рассматривается нерадиальная инжекция пучка в плазму с неоднородным распределением плотности по радиусу. Плазма предполагается квазинейтральной и симметричной относительно продольной оси. Пучок нейтралов может быть наклонен к продольной оси установки и может иметь смещение в поперечном направлении. Угол наклона и смещение задаются задаваемыми параметрами, причем угол наклона для всех инжекторов один и тот же, а поперечные смещения инжекторов могут быть различными. Полный список параметров, которые могут быть выбраны для расчета конкретного варианта, приведен в приложении. Поскольку время инжекции мало по сравнению с временем жизни плазмы, то в расчетах предполагается, что инжекция и захват атомов происходят мгновенно. Определяются радиальные распределения быстрых ионов и их лармировских центров, а затем происходит торможение высокoenергетических ионов и нагрев плазмы.

ИНЖЕКЦИЯ БЫСТРЫХ АТОМОВ В ПЛАЗМУ

Для любой точки плоскости (x, y) , находящейся на расстоянии z от эмиттера, плотность нейтралов j определяется как

$$j(x, y) = j_0 \int_{-r_0}^{r_0} d\eta \int_{-\sqrt{r_0^2 - \eta^2}}^{\sqrt{r_0^2 - \eta^2}} \exp \left[-\alpha \left(\frac{x - \xi}{z} \right)^2 - \beta \left(\frac{y - \eta}{z} \right)^2 \right] d\xi, \quad (1)$$

где r_0 —радиус эмиттера, $j_0 = I \frac{\sqrt{\alpha\beta}}{\pi^2 r_0^2 z^2}$; I —полный ток эмиттера. Ве-

личины α и β определяют размытие пучка по осям x и y . При на-
клоне атомарного пучка относительно плазменного столба цен-
тральной части ГДЛ в формуле (1) нужно брать не z а $z + y \operatorname{ctg} \mu$

Из-за наклона пучка захваченные в плазме ионы будут дви-
гаться вдоль плазмы. Для определения суммарного количества
захваченных ионов, движущихся вдоль силовой линии, найдем ко-
личество нейтралов, падающих на площадку боковой поверхности
плазмы, сторонами которой являются единичная длина дуги ок-
ружности поперечного сечения плазменного столба и отрезок l , па-
раллельный оси плазменного столба:

$$J(x) = \int_l j dl = \int_{-y_*}^{y_*} j(x, y) dy, \quad (2)$$

где $-y_*$, y_* —характерные размеры пучка. При нахождении рас-
пределения захваченных нейтралов в плазме удобно x измерять в
радиусах плазмы R , а y , z , ξ , η в радиусах эмиттера r_0 . Подстав-
ляя в (2) $j(x, y)$ с учетом поправки к z и умножая $J(x)$ на время
инжекции t_i , получим

$$J_0(x) = P \cdot t_i \cdot S(x), \quad (3)$$

где

$$S(x) = \int_{-y_*}^{y_*} \frac{dy}{z + y \operatorname{ctg} \mu} \int_{-1}^1 d\eta \exp[-P1(y - \eta)^2] [\operatorname{erf}(S1) - \operatorname{erf}(S2)],$$

$$P = I \frac{\sqrt{\beta}}{2\pi^{3/2} r_0^2}, \quad P1 = \frac{\beta}{(z + y \operatorname{ctg} \mu)^2},$$

$$S1 = F2 \left(\frac{R}{r_0} x + \sqrt{1 - \eta^2} \right), \quad S2 = P2 \left(\frac{R}{r_0} x - \sqrt{1 - \eta^2} \right),$$

$$P2 = \frac{\sqrt{\alpha}}{z + y \operatorname{ctg} \mu}, \quad \operatorname{erf}(x) = \frac{2}{\sqrt{\pi}} \int_0^x e^{-x^2} dx.$$

Во всех дальнейших расчетах используется таблица значений
 $S(x)$, определенная на промежутке от -2 до 2 с шагом $0,01$.

ПЛОТНОСТЬ РАСПРЕДЕЛЕНИЯ ПО РАДИУСУ ЛАРМОРОВСКИХ ЦЕНТРОВ ЗАХВАЧЕННЫХ ЧАСТИЦ

Изменение потока нейтралов при движении его по плазме

$$dJ = -J \sigma n(x, y) dy / \sin \mu.$$

Фактор $\sin \mu$ —результат наклона пучка. Если обозначить через x^* , y^* координаты границы плазмы, где

$$x^{*2} + y^{*2} = R^2,$$

то нормируя плотность плазмы на ее плотность в центре ловушки n_0 и измеряя x и y в единицах радиуса плазмы R , получим

$$J(x, y) = J_0(x) \exp \left(-\frac{R \sigma n_0}{\sin \mu} \int_y^{y^*} n(x, y) dy \right).$$

Область, занятая ларморовскими центрами, есть круг радиуса R , смешенный относительно плазмы на ларморовский радиус q . Ин-
жектор может смещаться по оси x вправо или влево от централь-
ного положения. Задание смещения ξ определяет ту часть пучка,
которая «светит» на плазму:

$$\Phi(x) = J_0(x + \xi).$$

Зная поток нейтралов в каждой точке поперечного сечения плаз-
мы, можно определить на каждой силовой линии количество за-
хваченных ионов, движущихся вдоль оси установки:

$$N(x, y) = \frac{\sigma n_0}{\sin \mu} n(x, y) \Phi(x) \exp \left(-\frac{R n_0 \sigma}{\sin \mu} \int_y^{y^*} n(x, y) dy \right). \quad (4)$$

Чтобы определить полное число захваченных частиц, нужно (4)
проинтегрировать по площади поперечного сечения плазмы:

$$Q = \int_{-1}^1 dx \int_{-\sqrt{1-x^2}}^{\sqrt{1-x^2}} N(x, y) dy =$$

$$= \int_{-1}^1 dx \Phi(x) \left[1 - \exp \left(-\frac{R n_0 \sigma}{\sin \mu} \int_{-\sqrt{1-x^2}}^{\sqrt{1-x^2}} n(x, y) dy \right) \right].$$

Интеграл, стоящий в правой части, есть разность потоков атомов, входящих и выходящих из плазмы. Процент захвата падающего пучка определяется отношением

$$\eta = Q / \int_{-2}^2 J_0(x) dx.$$

Так как время жизни плазмы в ГДЛ много больше пролетного времени и времени градиентного дрейфа, то при своем движении лармировские центры будут находиться в объеме $S \cdot L$ с радиусом r_d поперечного сечения S :

$$r_d = R + q,$$

которое получается при вращении вокруг центра области лармировских центров (q —лармировский радиус). Чтобы определить среднюю плотность лармировских центров как функцию $r = \sqrt{y^2 + (x+q)^2}$, (x, y —точка захвата нейтрала), нужно проинтегрировать $N(x, y)$ на соответствующих дугах и разделить этот интеграл на длину этой окружности. Если лармировский радиус меньше радиуса плазмы, то центр вращения находится внутри области лармировских центров и для интегрирования имеются как замкнутые, так и не замкнутые окружности.

Для $q < R$ имеем:

1. $r = 0$, плотность центров $n_l(0) = N(-q, 0)$;

2. $0 < r < R - q$, $n_l(r) = \frac{1}{2\pi} \int_0^{2\pi} N(-r \cos \phi - q, r \sin \phi) d\phi$;

3. $R - q < r < R + q$, плотность лармировских центров в этой области будет

$$n_l(r) = \frac{1}{2\pi} \int_{\beta}^{2\pi - \beta} N(-r \cos \phi - q, r \sin \phi) d\phi,$$

где $\beta = \arccos \frac{R^2 - q^2 - r^2}{2qr}$;

$$4. \quad r = R + q, \quad n(r) = \frac{N(R, 0)}{2\pi(R + q)}.$$

В случае $q > R$ реализуются пункты 3 и 4.

ПЛОТНОСТЬ ЗАХВАЧЕННЫХ ЧАСТИЦ В ПЛАЗМЕ

По известному радиальному распределению плотности лармировских центров захваченных ионов можно определить радиальное распределение плотности самих ионов.

Частицы, лармировские центры которых расположены на площади Δr_c^2 (рис. 1), заметают кольцо $2\pi q \Delta r_c$. Доля этого кольца, лежащая в кольце Δr , равна $\phi/2\pi$. Количество лармировских центров в кольце Δr_c :

$$N\pi(r_{c2}^2 - r_{c1}^2),$$

где N —средняя плотность центров этого кольца. Вклад от них в кольцо Δr есть

$$N\phi(r_{c2}^2 - r_{c1}^2).$$

Суммируя по всем лармировским центрам, лармировские радиусы которых попадают в кольцо Δr_j , получим для средней плотности $p(r)$ захваченных частиц в этом кольце:

$$p_{j+1/2} = \frac{1}{\pi(r_{j+1}^2 - r_j^2)} \sum_k N_{k+1/2} \Phi_k(r_{c,k+1}^2 - r_{c,k}^2).$$

ТОРМОЖЕНИЕ БЫСТРЫХ ИОНОВ

Уравнение движения быстрого иона:

$$\dot{\bar{v}} = \omega [\bar{v}, \bar{h}] - \frac{v}{2} \bar{v},$$

где v —частота столкновений захваченных частиц пучка с плазмой. В ГДЛ, с температурой плазмы 10–100 эв, торможение высокоэнергетичных ионов происходит на электронах. Частота столкновений ионов с электронами [2]

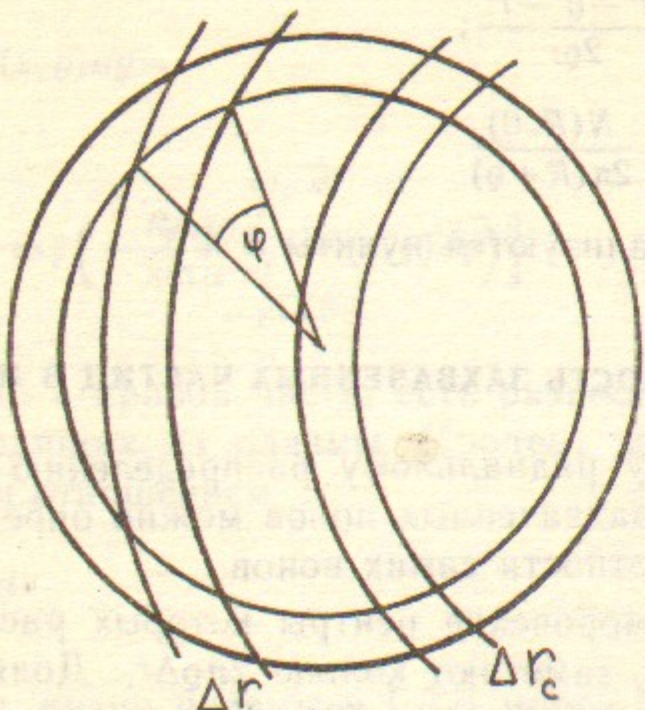


Рис. 1.

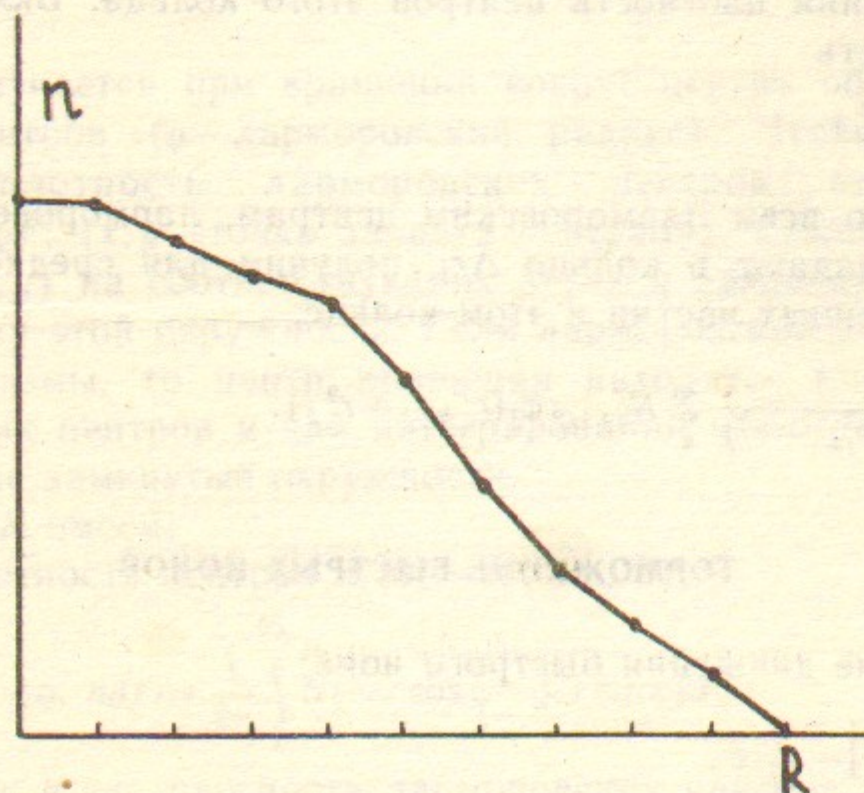


Рис. 2.

$$v = \frac{2\sqrt{2M}\pi e^4 n_0}{m \epsilon_0^{3/2}} \left[\int_0^{\sqrt{x_e}} \exp(-s^2) ds - \sqrt{x_e} e^{-x_e} \left(1 + \frac{m}{M} \right) \right] \frac{n(r)\lambda}{(\varrho/\varrho(0))^3},$$

где

$$x_e = \frac{m}{M} \frac{\epsilon_0}{\varrho^2(0)} \frac{Q^2}{T},$$

ϵ_0 , $Q(0)$ — соответственно начальная энергия и лармировский радиус быстрых ионов; $n(r)$ — безразмерная плотность плазмы, нормированная на плотность плазмы в центре ловушки; λ — кулоновский логарифм. Как уже отмечалось в работе [1], при $\omega \gg v$ движение быстрого иона есть циклотронное вращение с медленным уменьшением скорости. Поскольку v зависит от радиуса, то центр лармировской окружности будет перемещаться и его движение описывается уравнением [1]

$$\dot{r}_c = \frac{v}{2\omega} [\bar{h}, \bar{v}].$$

Медленность всех изменений позволяет считать в формулах, описывающих изменение скорости за лармировский период

$$v^2(t_2) - v^2(t_1) = \int_{2\pi/\omega}^{2\pi-\beta} vv^2 dt = -\frac{1}{\sin \mu} \int_{\beta}^{2\pi-\beta} v v Q d\phi$$

и перемещение лармировского центра

$$\Delta r_c = \bar{r}(t_2) - \bar{r}(t_1) = \frac{1}{2\omega} \int_{2\pi/\omega}^{2\pi-\beta} v [\bar{h}, \bar{v} \times \bar{Q}] dt = \frac{1}{2\omega} \int_{\beta}^{2\pi-\beta} v \bar{Q} d\phi,$$

все величины под знаком интеграла не зависящими от времени. Поскольку частота v симметрична относительно угла ϕ , то смещение идет вдоль радиуса и

$$\Delta r_c = \frac{1}{\omega} \int_{\beta}^{\pi} v Q \cos \phi d\phi.$$

Здесь β — угол, при котором ион при своем вращении начинает

двигаться в плазме:

$$\beta = 0, \text{ если } q < 1 - r_c \quad \text{и}$$

$$\beta = \arccos \frac{1 - r_c^2 - q^2}{2r_c q}, \text{ если } q > 1 - r_c.$$

Пренебрегая членами второго порядка малости и деля приращения на лармовский период, получим уравнения для изменений во времени лармовских радиусов и лармовских центров

$$\frac{dq}{dt} = -CF1 \int_{\beta}^{\pi} g(r_c, q, \varphi) d\varphi,$$

$$\frac{dr_c}{dt} = CF1 \int_{\beta}^{\pi} g(r_c, q, \varphi) \cos \varphi d\varphi,$$

где

$$CF1 = \frac{\sqrt{2M} e^4 n_0 q^3(0)}{m \epsilon_0^{3/2}},$$

$$g(r_c, q, \varphi) = \left[\int_0^{\infty} \exp(-s^2) ds - \sqrt{x_e} e^{-x_e} \left(1 + \frac{m}{M} \right) \right] \frac{n(r) \lambda}{q^2}.$$

В каждой точке своей лармовской окружности быстрый ион теряет энергию

$$CF1 \cdot MR\omega^2 \cdot g / \sin^2 \mu,$$

а вдоль дуги, лежащей в секторе $\varphi_2 - \varphi_1$, энергию

$$\frac{CF1 \cdot MR^2 \omega^2}{\sin^2 \mu} q \int_{\varphi_1}^{\varphi_2} g(r_c, q, \varphi) d\varphi. \quad (5)$$

Умножая (5) на $N\pi(r_{c2}^2 - r_{c1}^2)$, получим энергию, которую выделят частицы, лармовские центры которых лежат в кольце Δr_c со средней плотностью N . Эту энергию они передают электронам плазмы, количество которых в кольце Δr , где лежит дуга l , есть

$$q = 2\pi \int_{r_1}^{r_2} n(r) r dr = \frac{n(r_2) + n(r_1)}{2} \pi(r_2^2 - r_1^2).$$

Измеряя энергию и температуру в электронвольтах и суммируя всю энергию, выделившуюся в кольце Δr , можно определить энергию W , выделившуюся в единице объема плазмы этого кольца:

$$W = 1,3938 \cdot 10^{-12} \frac{CF1 \cdot R^3 \omega^2}{n_0 L \sin^2 \mu} \times$$

$$\times \frac{1}{0,5(n_2 + n_1)(r_2^2 - r_1^2)} \sum_{r_c} N_c(r_{c2}^2 - r_{c1}^2) q^2 \int_{\varphi_1}^{\varphi_2} g d\varphi$$

(L определяет полный объем, где находятся быстрые ионы). Температура электронов и ионов плазмы связана соотношениями [3]

$$\frac{3}{2} n \frac{dP_1}{dt} = W, \quad P_1 = T_e + T_i,$$

$$\frac{3}{2} n \frac{dP_2}{dt} = W - 2Q, \quad P_2 = T_e - T_i, \quad (6)$$

где

$$Q = \frac{3m_e}{m_i \tau_e} n_e P_2 \quad \tau_e = \frac{3\sqrt{m_e} T_e^{3/2}}{4\sqrt{2\pi} \lambda e^4 Z^2 n}$$

Зная для каждого кольца Δr_i выделившуюся энергию W_i , нетрудно из уравнений (6) определить среднюю температуру электронов и ионов плазмы в этом кольце.

РЕЗУЛЬТАТЫ ЧИСЛЕННЫХ РАСЧЕТОВ

Для выяснения влияния неоднородности плазмы и смещения пучка относительно продольной оси была рассмотрена работа одного атомарного инжектора. Все параметры пучка и напряженность магнитного поля (2,2 кгс) выбирались близкими к параметрам ГДЛ. Были рассмотрены два случая: инжекция атомов в плазму постоянной плотности с резкой границей и инжекция в

плазму с плотностью, убывающей по радиусу. И в том, и в другом случае расчеты проводились для трех положений атомарного пучка: симметричного относительно продольной оси плазменного столба, смещенного на половину лармировского радиуса в сторону области, занятой лармировскими центрами ($\xi = 3$ см), и смещенного в противоположную сторону ($\xi = -3$ см).

1. Плазма с резкой границей. Из графиков на рис. 3, где приведены радиальные распределения плотностей быстрых ионов и их лармировских центров, видно, что смещение атомарного пучка в сторону, противоположную области лармировских центров, дает более высокую плотность в центральной части плазмы как лармировских центров, так и захваченных частиц. Процент захвата атомов при симметричном положении пучка относительно продольной оси 60,6, а при боковых смещениях ($\xi = \pm 3$) 58,6. Темп нагрева плазмы и профили температур различны для случаев $\xi = -3$ и $\xi = 3$ (рис. 4 и 5). Для случая, когда инжектор смещен в сторону области лармировских центров, в плазме образуется резко выделенный пик плотности затормозившихся ионов (рис. 4, г). Движение лармировских центров определяется градиентами плотности и температуры, причем движение, вызванное непостоянством температуры, происходит в направлении ее уменьшения. Конкуренция двух направлений движения хорошо видна на рис. 4, б, 5, б.

2. Плазма переменной плотности. Во втором случае инжекция атомов велась в плазму с плотностью, убывающей по радиусу (рис. 2). В центре плазма выбиралась той же плотности, что и в случае плазмы с резкой границей. Процент захвата для $\xi = 0$ был 36,3 и 33,2 для $\xi = \pm 3$. Как видно из рис. 6 и 7, нагрев плазмы до максимальной температуры происходил за большее время и до большей температуры. Профили распределения (по радиусу) затормозившихся ионов качественно совпадают со случаем плазмы с резкой границей, но носят более плавный характер. Все ионы при торможении движутся к центру плазмы.

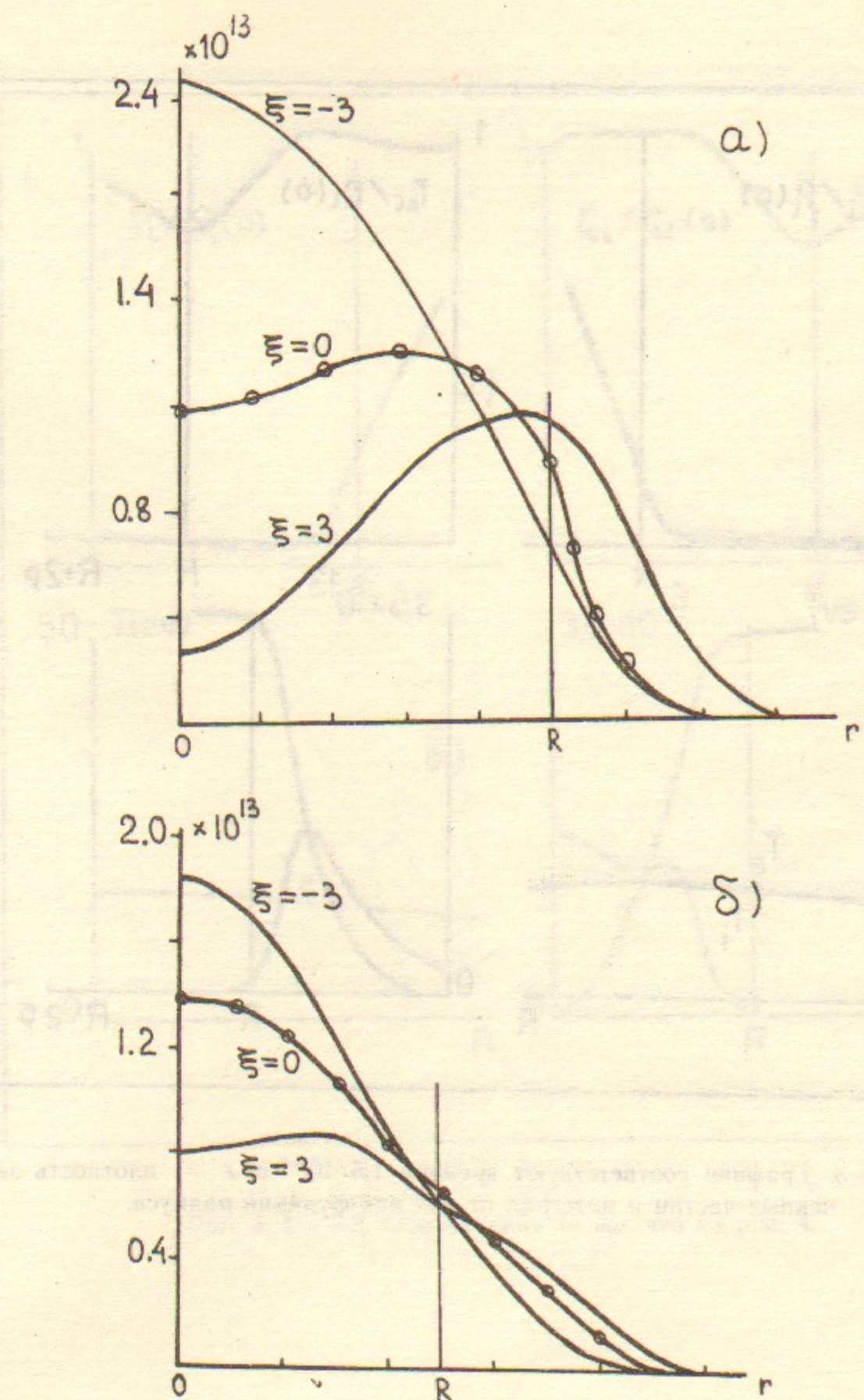


Рис. 3. а—плотность распределения лармировских центров, б—плотность распределения захваченных частиц.

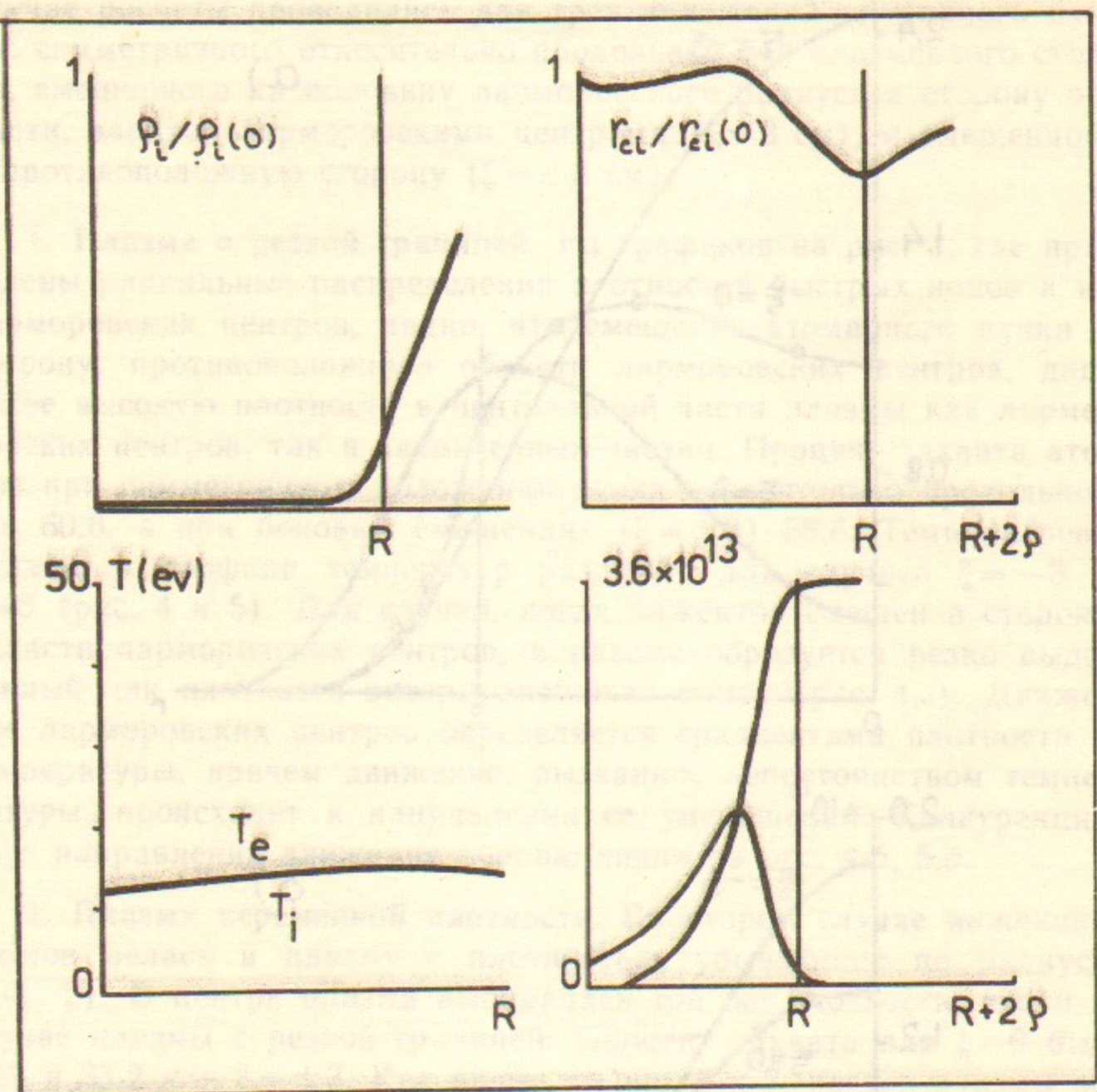


Рис. 4. $\xi = +3$. Графики соответствуют времени $1,5 \cdot 10^{-4}$ с. ρ — плотность захваченных частиц и интеграл от них как функция радиуса.

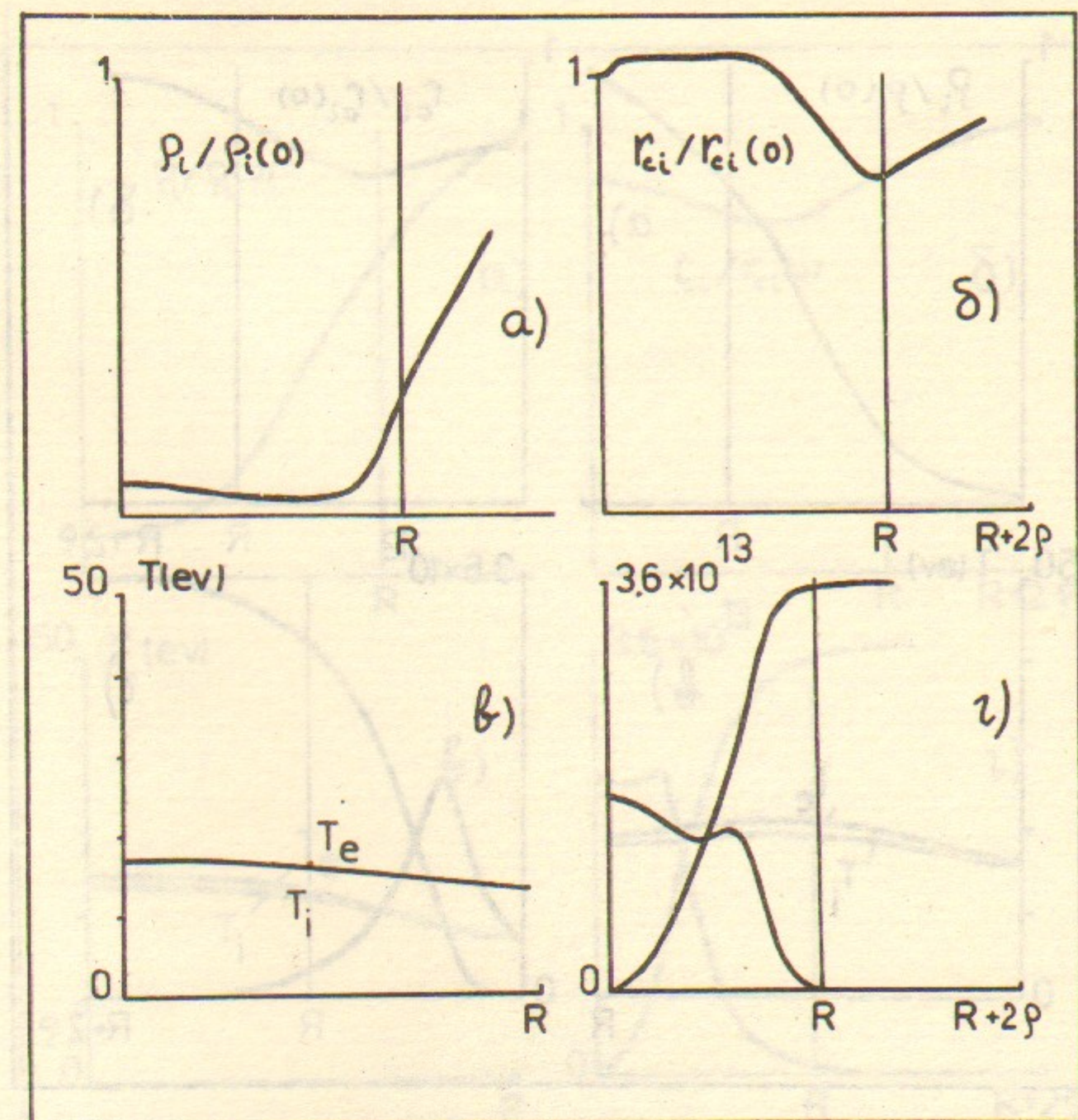


Рис. 5. $\xi = -3$. Обозначения те же, что на рис. 4.

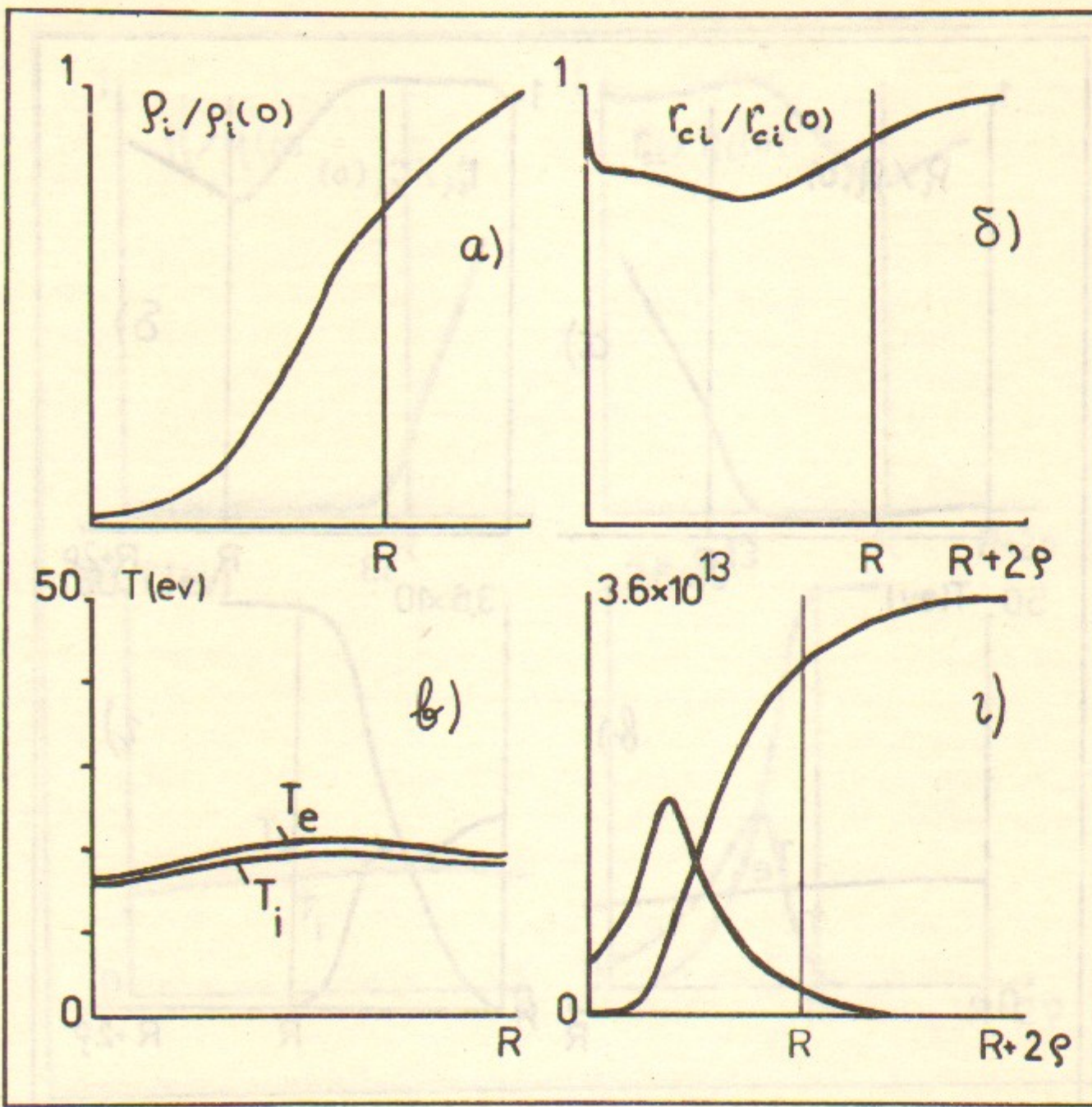


Рис. 6. $\xi = +3$, $n(r) \neq \text{const}$. Времена и обозначения те же, что и на рис. 4.

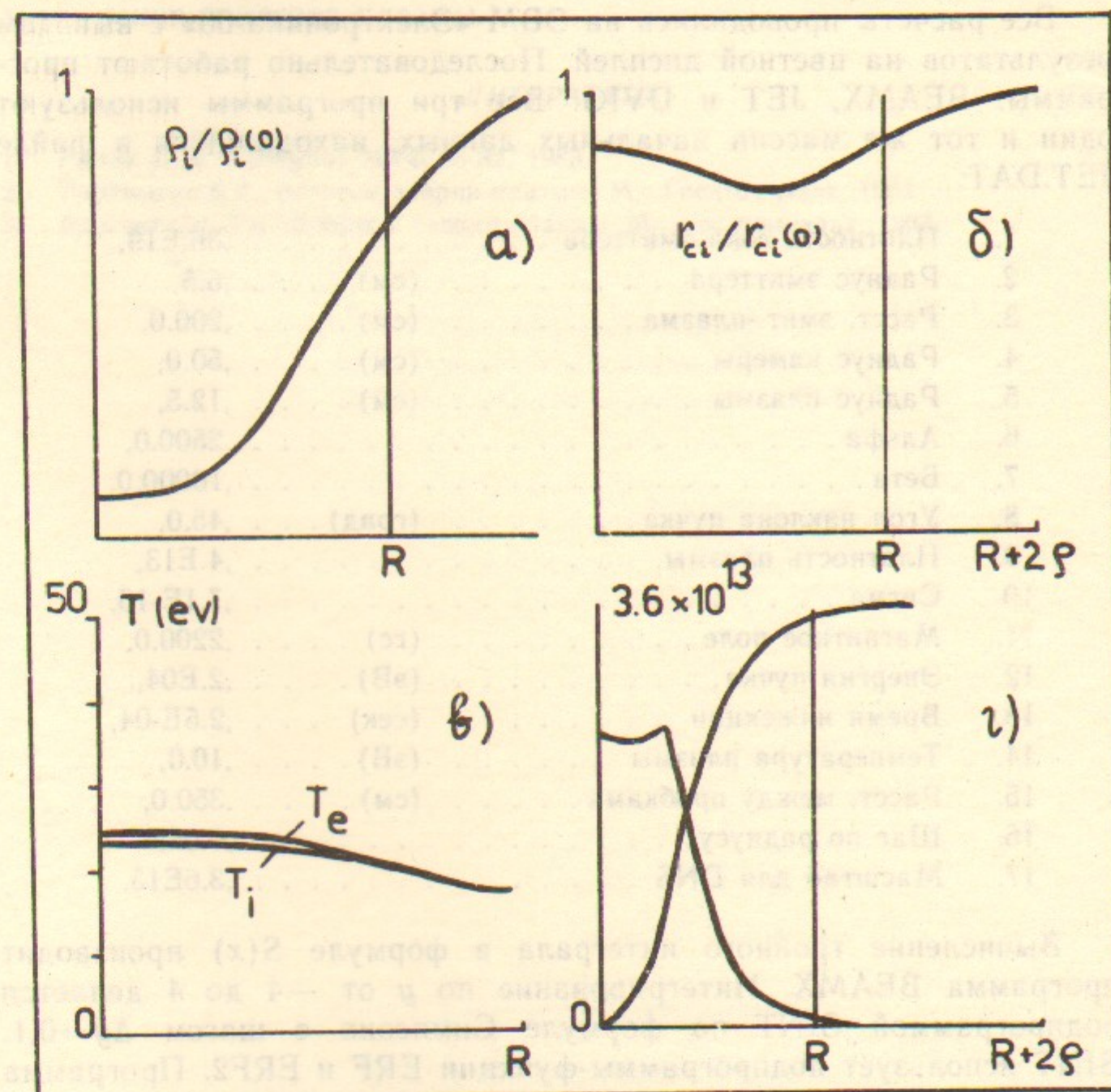


Рис. 7. $\xi = -3$, $n(r) \neq \text{const}$. Времена те же, что и на рис. 4.

ПРИЛОЖЕНИЕ

Все расчеты проводились на ЭВМ «Электроника-60» с выводом результатов на цветной дисплей. Последовательно работают программы: BEAMX, JET и DVIG. Все три программы используют один и тот же массив начальных данных, находящихся в файле JET.DAT:

- | | | |
|-----|-----------------------------------|---------------------------|
| 1. | Плотность тока эмиттера | ,36.E19, |
| 2. | Радиус эмиттера | (см) ,6.5, |
| 3. | Расст. эмит.-плазма | (см) ,200.0, |
| 4. | Радиус камеры | (см) ,50.0, |
| 5. | Радиус плазмы | (см) ,12.5, |
| 6. | Альфа | ,2500.0, |
| 7. | Бета | ,10000.0, |
| 8. | Угол наклона пучка | (град) ,45.0, |
| 9. | Плотность плазмы | ,4.E13, |
| 10. | Сигма | ,7.1E-16, |
| 11. | Магнитное поле | (гс) ,2200.0, |
| 12. | Энергия пучка | (эВ) ,2.E04, |
| 13. | Время инжекции | (сек) ,2.5E-04, |
| 14. | Температура плазмы | (эВ) ,10.0, |
| 15. | Расст. между пробками | (см) ,350.0, |
| 16. | Шаг по радиусу | ,0.02, |
| 17. | Масштаб для DNS | ,3.6E13. |

Вычисление тройного интеграла в формуле $S(x)$ производит программа BEAMX. Интегрирование по y от -4 до 4 делается подпрограммой SINT по формуле Симпсона с шагом $\Delta y = 0,1$. SINT использует подпрограммы-функции ERF и ERF2. Программа BEAMX насчитывает массив значений $S(x)$ и заносит его в файл BIMX.DAT.

Программа JET вводит начальные значения профиля плазмы, находящиеся в файле ER.DAT. Этих значений 11 с шагом 0,1. JET использует начальные данные файлов JET.DAT и BIMIX.DAT и, запрашивая номер инжектора и его смещение, производит расчет распределения плотности ларморовских центров захваченных ионов от данного инжектора и определяет суммарную плотность ларморовских центров и радиальную плотность захваченных частиц. По указанию заносит суммарное радиальное распределение плотности ларморовских центров в выходной файл PRAS.DAT.

Программа DVIG использует начальные данные файлов JET.DAT, ER.DAT, PRAS.DAT и рассчитывает торможение быстрых ионов и нагрев плазмы.

ЛИТЕРАТУРА

1. Рютов Д.Д. Препринт ИЯФ 85-32, 1985.
 2. Трубников Б.А. Вопросы теории плазмы. М.: Госатомиздат, 1963.
 3. Брагинский С.И. Вопросы теории плазмы. М.: Госатомиздат, 1963.

П.З. Чеботаев

Захват высокоэнергетичных атомов при нерадиальной инжекции их в газодинамическую ловушку

Ответственный за выпуск С.Г.Попов

Работа поступила 17 марта 1986 г.

Подписано к печати 5 июня 1986 г. МН 11743

Формат бумаги 60×90 1/16 Объем 0,9 печ.л., 0,7 уч.-изд.л.

Тираж 180 экз. Бесплатно. Заказ № 93

Набрано в автоматизированной системе на базе фотонаборного автомата FA1000 и ЭВМ «Электроника» и отпечатано на ротапринте Института ядерной физики СО АН СССР,
Новосибирск, 630090, пр. академика Лаврентьева, 11.